

### III-7 動態時における土の強度

京都大学防災研究所 正員 村山 刑郎  
京都大学大学院 正員 ○守屋 重季

われわれの研究室では以前から三軸試験機の側圧を周期的に変化させたときの土の強度推移を調べているが、<sup>1) 2)</sup> 振動時の向ヶキ水圧が何とか測定できる段階にきたので、今回は圧密非排水試験の結果について報告する。

試験はCU-test：静的圧密非排水セン断試験、 CUD-test：静的に圧密したのち、側圧 $d_3$ を周期的に変化させた状態で行なうセン断試験、 CdUD-test：圧密中もセン断中もともに $d_3$ を周期的に変化させる試験、 の3種を行なった。

#### 試料、試験方法

用いた試料はシルト質粘土ロームで、これは液性限界以上の含水比まで水を加えたのち他の容器で $0.83 \text{ kg/cm}^2$ の圧力で圧密したものである。その物性は粘土含有量 17%， L.L. 40.7%， P.L. 21.3%， 初期含水比 38.0%， 比重 2.64 である。

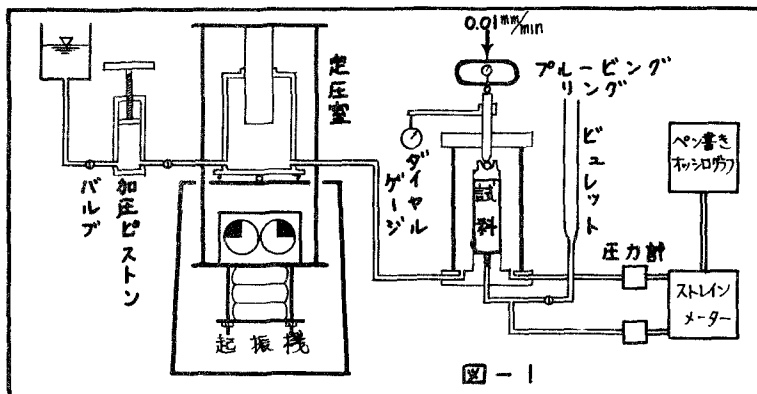


図-1

供試体は上記試料を切り出し直徑約3.5 cm、高さ約6cmの円柱形に成型し、試験時にはpaper drainを併用した。試験はCU, CUD, CdUD-test の3種類とし、いずれも側圧 $d_3$ は1.5~40  $\text{kg/cm}^2$ の範囲、セン断時のヒズミ速度は0.16%/min. でありセン断中の動的、静的向ヶキ水圧変化および側圧の変動を電気的に記録させた。振動数はいずれの場合も1000c.p.m.とした。実験装置を図-1に示す。

#### 試験結果

一例として $d_3 = 3.0 \text{ kg/cm}^2$ におけるCU-testとCUD-test（セン断時の圧力振巾 $\Delta p = 3.2 \text{ kg/cm}^2$ ）における応力～ヒズミ、向ヶキ水圧～ヒズミ曲線を図-2に示す。この図によればCUD-testでは、CU-testに較べて最大主应力差は小さいが向ヶキ水圧は大きくなることがわかり、これは一般的な傾向として認められた。したがって全应力表示の $\sigma_{cu}$ は振動時に低下することになる（図-3）。ただし図-3はセン断時の圧力振巾 $\Delta p$ と側圧 $d_3$ の比がほぼ1に近い場合のみが示してあり、 $\Delta p/d_3$ の比が大きいと大きくなれば強の低下も著しくなると予

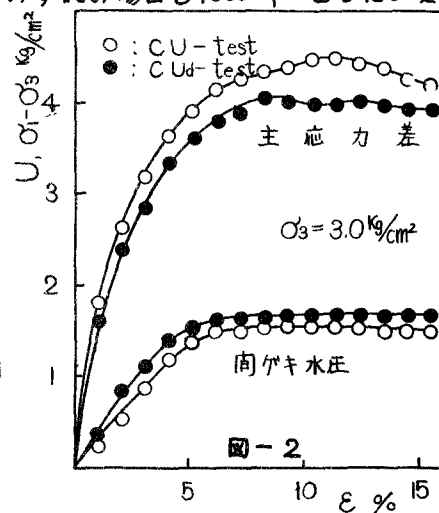


図-2

想される。

図-4はCUU-testの結果を含めて、有効応力表示の  $(\sigma_1 - \sigma_3)/2 \sim (\sigma_1 + \sigma_3)/2$  の関係を示したもので、3種類の試験結果が1本の直線である。これより、 $\sigma_{cu}$ は振動時にほとんど変化がないことがわかる。これは上述のように、振動時に

は発生する向ヶ谷水圧が大きいことに原因するが、振動時の向ヶ谷水圧発生機構等は難解である。たゞし図-5にみられるようにせん断中に側圧を振動させると、向ヶ谷水圧はほとんど位相の遅れなく側圧に応答しており、多くの結果はいずれも向ヶ谷水圧の振巾が破壊時の近傍で特に顕著にあらわれる傾向を示している。

以上 CUd-testについては  $\sigma_p/\sigma_3$  の比が1のものについて述べたが現在実験

雑誌中であるので講演時にはさらに詳細なデータを収集できると思う。

#### 参考文献

- 1) 小沢良夫： 振動における土のせん断強度について、昭和27年度関西支部年次学術講演会概要、pp.45, 46,
- 2) 小沢良夫、酒井哲夫： 振動における土の体積変化について、第18回年次学術講演会講演概要、昭和38年 pp.27, 28,

